

Projet Hémodynamique

Jean-Louis Du

March 23, 2025

Plan :

- Ecoulement de sang au sein d'un domaine avec bifurcation
- Problème de couplage et stabilité des schémas numériques

Les inconnues du problème sont la vitesse $u : \Omega \times (0, T) \rightarrow \mathbb{R}^2$ et la pression $p : \Omega \times (0, T) \rightarrow \mathbb{R}$ du sang.

$$\begin{cases} \rho^f \left(\frac{\partial u}{\partial t} + u \cdot \nabla u \right) - \operatorname{div} \sigma(u, p) = 0 & \text{dans } \Omega \times (0, T) \\ \operatorname{div} u = 0 & \text{dans } \Omega \times (0, T) \end{cases}$$

Écoulement dans une bifurcation

Conditions limites

$$\begin{cases} u = 0 & \text{sur } \Gamma^{\text{wall}} \\ u = u_{\text{in}} & \text{sur } \Gamma^{\text{in}} \\ \sigma(u, p)n - \frac{\rho_f}{2}|u \cdot n|u = -p_{\text{out},1}n & \text{sur } \Gamma_1^{\text{out}} \\ \sigma(u, p)n - \frac{\rho_f}{2}|u \cdot n|u = -p_{\text{out},2}n & \text{sur } \Gamma_2^{\text{out}} \end{cases}$$

Condition initiale

$$u(x, t = 0) = 0$$

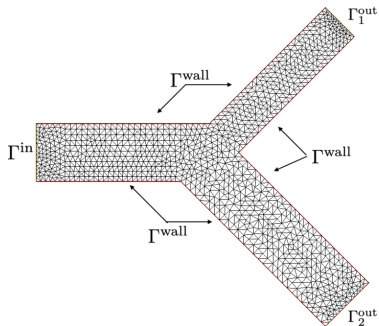


Figure: Schéma de la bifurcation

Formulation forte

$$\left\{ \begin{array}{ll} \rho^f \left(\frac{u^n - u^{n-1}}{\tau} \right) + \rho^f u^{n-1} \cdot \nabla u^n - \operatorname{div}(\sigma(u^n, p^n)) = 0, & \text{dans } \Omega \\ \operatorname{div}(u^n) = 0, & \text{dans } \Omega \\ u^n = 0, & \text{sur } \Gamma^{\text{wall}} \\ u^n = u_{\text{in}}, & \text{sur } \Gamma^{\text{in}} \\ \sigma(u^n, p^n)n - \frac{\rho^f}{2} |u^{n-1} \cdot n|_- u^n = -p_{\text{out},i} n, & \text{sur } \Gamma_i^{\text{out}} \\ p_{\text{out},i} = p_d + R_{d,i} \int_{\Gamma_i^{\text{out}}} u^{n-1} \cdot n, & i = 1, 2 \end{array} \right.$$

Espaces variationnels :

- $X = \{w \in H^1(\Omega)^2 \text{ tel que } w = u_{in} \text{ sur } \Gamma^{in}, w = 0 \text{ sur } \Gamma^{wall}\}$
- $M = L_0^2(\Omega)$

Formulation mixte

$$\begin{cases} \int_{\Omega} \frac{\rho^f u^n}{\tau} \cdot v - \int_{\Omega} \frac{\rho^f u^{n-1}}{\tau} \cdot v + \int_{\Omega} \rho^f (u^{n-1} \cdot \nabla u^n) \cdot v + \int_{\Omega} \sigma(u^n, p^n) : \nabla v \\ - \int_{\Gamma^{in}} \sigma(u_{in}, p^n) n \cdot u_{in} + \sum_{i=1,2} \int_{\Gamma_i^{out}} \left(\left(p_d + R_{d,i} \int_{\Gamma_i^{out}} u^{n-1} \cdot n \right) n - \frac{\rho^f}{2} |u^{n-1} n| - u^n \right) \cdot v = 0 \\ \int_{\Omega} q \operatorname{div}(u^n) = 0 \quad \forall v \in X, q \in M \end{cases}$$

Problème mixte discret

Espaces variationnels discrets : $X_h \times M_h$

Formulation mixte discret

$$\begin{cases} \int_{\Omega} \frac{\rho^f u_h^n}{\tau} \cdot v - \int_{\Omega} \frac{\rho^f u_h^{n-1}}{\tau} \cdot v + \int_{\Omega} \rho^f (u_h^{n-1} \cdot \nabla u_h^n) \cdot v + \int_{\Omega} \sigma(u_h^n, p_h^n) : \nabla v \\ - \int_{\Gamma_{in}} \sigma(u_{in}, p_h^n) n \cdot u_{in} + \sum_{i=1,2} \int_{\Gamma_i^{out}} \left(\left(p_d + R_{d,i} \int_{\Gamma_i^{out}} u_h^{n-1} \cdot n \right) n - \frac{\rho^f}{2} |u_h^{n-1} \cdot n|_- u_h^n \right) v = 0 \\ \int_{\Omega} q \operatorname{div}(u_h^n) = 0 \end{cases}$$

Choix des espaces d'éléments finis :

- $\mathbb{P}_2/\mathbb{P}_1$
- $\mathbb{P}_1/\mathbb{P}_1$ + un terme de stabilisation
- Plus généralement, $\mathbb{P}_{n+1}/\mathbb{P}_n$ avec $n \geq 1$

Stabilité du schéma numérique

En multipliant la formulation forte par u_h^n et en intégrant sur Ω on obtient :

$$\underbrace{\int_{\Omega} \frac{\rho^f}{\tau} (u_h^n - u_h^{n-1}) \cdot u_h^n}_{\boxed{1}} + \underbrace{\int_{\Omega} \rho^f (u_h^{n-1} \cdot \nabla u_h^n) \cdot u_h^n}_{\boxed{2}} + \underbrace{\int_{\Omega} \sigma(u_h^n, p_h^n) : \nabla u_h^n}_{\boxed{3}} \\ + \sum_{i=1,2} \int_{\Gamma_{out,i}} \left(\underbrace{\left(p_d + R_{d,i} \int_{\Gamma_{out,i}} u_h^{n-1} \cdot n \right) n}_{\boxed{4}} - \underbrace{\frac{\rho^f}{2} |u_h^{n-1} \cdot n|}_{\boxed{5}} u_h^n \right) \cdot u_h^n = 0.$$

$$\boxed{1} = \frac{\rho^f}{2\tau} \left(\|u_h^n\|_{L^2(\Omega)}^2 - \|u_h^{n-1}\|_{L^2(\Omega)}^2 + \|u_h^n - u_h^{n-1}\|_{L^2(\Omega)}^2 \right)$$

$$\text{car } (a - b)a = \frac{1}{2}(a^2 - b^2 + (a - b)^2)$$

$$\boxed{4} = \sum_{i=1,2} \int_{\Gamma_{out}^i} p_d u_h^n \cdot n + \sum_{i=1,2} R_{d,i} \left(\int_{\Gamma_{out}^i} u_h^n \cdot n \right) \int_{\Gamma_{out}^i} u_h^{n-1} \cdot n$$

$$= \sum_{i=1,2} \int_{\Gamma_i^{out}} p_d u_h^n \cdot n + \sum_{i=1,2} R_{d,i} \left(\int_{\Gamma_i^{out}} (u_h^{n-1} - u_h^n) \cdot n \right) \left(\int_{\Gamma_i^{out}} u_h^n \cdot n \right)$$

$$+ R_{d,i} \left| \int_{\Gamma_{out}^i} u_h^n \cdot n \right|^2$$

$$\boxed{2} = \int_{\Omega} \frac{\rho^f}{2} u_h^{n-1} \nabla |u_h^n|^2 \quad \text{car } \nabla u^n \cdot u^n = \frac{1}{2} \nabla |u^n|^2$$

$$= - \int_{\Omega} \frac{\rho^f}{2} |u_h^n|^2 \underbrace{\operatorname{div}(u_h^{n-1})}_{=0} + \int_{\Gamma} \frac{\rho^f}{2} |u_h^n|^2 u_h^{n-1} \cdot n \quad \text{par Green}$$

$$= \sum_{i=1,2} \frac{\rho^f}{2} \int_{\Gamma_i^{out}} |u_h^n|^2 u_h^{n-1} \cdot n \quad \text{par les CL de } u$$

$$\boxed{5} = - \sum_{i=1,2} \int_{\Gamma_i^{out}} \frac{\rho^f}{2} |u_h^{n-1} \cdot n| u_h^n \cdot u_h^n$$

$$= - \sum_{i=1,2} \frac{\rho^f}{2} \int_{\Gamma_i^{out}} |u_h^n|^2 |u_h^{n-1} \cdot n|$$

$$\begin{aligned}
\boxed{3} &= \int_{\Omega} (2\mu \varepsilon(u_h^n) - p_h^n I) : \nabla u_h^n \\
&= 2\mu \int_{\Omega} \varepsilon(u_h^n) : \nabla u_h^n - \int_{\Omega} p_h^n I : \nabla u_h^n \\
&= 2\mu \int_{\Omega} \underbrace{\varepsilon(u_h^n)}_{\text{symétrique}} : \left(\underbrace{\varepsilon(u_h^n) + \frac{1}{2}(\nabla u - \nabla u^T)}_{\text{antisymétrique}} \right) - \int_{\Omega} p_h^n \underbrace{\text{div}(u_h^n)}_{=0}
\end{aligned}$$

Or le produit contractant d'un terme
symétrique par un terme anti-symétrique est nul

$$= 2\mu \|\varepsilon(u_h^n)\|_{L^2(\Omega)}^2$$

Stabilité du schéma numérique

On rassemble tout les termes.

$$\begin{aligned}
 & \frac{\rho^f}{2\tau} (\|u_h^n\|_{L^2(\Omega)}^2 - \|u_h^{n-1}\|_{L^2(\Omega)}^2) + 2\mu \|\varepsilon(u_h^n)\|_{L^2(\Omega)}^2 = \underbrace{- \sum_{i=1,2} \frac{\rho^f}{2} \int_{\Gamma_i^{out}} |u_h^n|^2 (u_h^{n-1} \cdot n - |u_h^{n-1} \cdot n|_-)}_{\leq 0} \\
 & - \frac{\rho^f}{2\tau} \|u_h^n - u_h^{n-1}\|_{L^2(\Omega)}^2 - \sum_{i=1,2} \int_{\Gamma_i^{out}} p_d u_h^n \cdot n - \underbrace{\sum_{i=1,2} R_{d,i} \left| \int_{\Gamma_i^{out}} u_h^n \cdot n \right|^2}_{- \boxed{\text{B}}} \\
 & - \underbrace{\sum_{i=1,2} R_{d,i} \left(\int_{\Gamma_i^{out}} (u_h^{n-1} - u_h^n) \cdot n \right) \left(\int_{\Gamma_i^{out}} u_h^n \cdot n \right)}_{\boxed{\text{A}}}
 \end{aligned}$$

$$\boxed{A} \leq \underbrace{\sum_{i=1,2} \frac{R_{d,i}}{2} \left| \int_{\Gamma_i^{out}} u_h^n \cdot n \right|^2}_{\frac{1}{2} \boxed{B}} + \sum_{i=1,2} \frac{R_{d,i}}{2} \frac{C_T |\Gamma_i^{out}|}{h} \|u_h^{n-1} - u_h^n\|_{L^2(\Omega)}^2$$

$$\begin{aligned} & \frac{\rho^f}{2\tau} (\|u_h^n\|_{L^2(\Omega)}^2 - \|u_h^{n-1}\|_{L^2(\Omega)}^2) + 2\mu \|\varepsilon(u_h^n)\|_{L^2(\Omega)}^2 \\ & \leq \left(-\frac{\rho^f}{2\tau} + \sum_{i=1,2} \frac{R_{d,i}}{2} \frac{C_T |\Gamma_i^{out}|}{h} \right) \|u_h^n - u_h^{n-1}\|_{L^2(\Omega)}^2 - \sum_{i=1,2} \int_{\Gamma_i^{out}} p_d u_h^n \cdot n \end{aligned}$$

Pour garantir la stabilité énergétique il faut que $\tau \leq \frac{\rho^f h}{C_T \sum_{i=1,2} R_{d,i} |\Gamma_i^{out}|}$.

Stabilité énergétique conditionnelle

Sous la condition $\tau \leq \frac{\rho^f h}{C_T \sum_{i=1,2} R_{d,i} |\Gamma_i^{out}|}$ on a la stabilité énergétique.

$$\frac{\rho^f}{2} \|u_h^N\|_{L^2(\Omega)}^2 + 2\mu\tau \sum_{n=1}^N \|\varepsilon(u_h^n)\|_{L^2(\Omega)}^2 \leq \frac{\rho^f}{2} \|u_h^0\|_{L^2(\Omega)}^2 - \tau \sum_{n=1}^N \sum_{i=1,2} \int_{\Gamma_i^{out}} p_d u_h^n \cdot n$$

Schéma alternatif

On a comme tout à l'heure, mais avec un terme en plus.

$$\boxed{1} + \boxed{2} + \boxed{3} + \boxed{4} + \boxed{5} + \underbrace{\sum_{i=1,2} \int_{\Gamma_i^{out}} \frac{R_{d,i} |\Gamma_i^{out}|}{2} (u_h^n - u_h^{n-1}) \cdot n \, u_h^n \cdot n}_{\boxed{6}} = 0$$

En utilisant $ab = \frac{1}{2}(a^2 + b^2 - (a - b)^2)$ avec $a = (u_h^n - u_h^{n-1}) \cdot n$ et $b = u_h^n \cdot n$:

$$\boxed{6} = \sum_{i=1,2} \frac{R_{d,i} |\Gamma_i^{out}|}{4} \left(\|(u_h^n - u_h^{n-1}) \cdot n\|_{L^2(\Gamma_i^{out})}^2 + \|u_h^n \cdot n\|_{L^2(\Gamma_i^{out})}^2 - \|u_h^{n-1} \cdot n\|_{L^2(\Gamma_i^{out})}^2 \right)$$

Stabilité du schéma numérique alternatif

$$\begin{aligned}
 & \frac{\rho^f}{2\tau} (\|u_h^n\|_{L^2(\Omega)}^2 - \|u_h^{n-1}\|_{L^2(\Omega)}^2) + \sum_{i=1,2} \frac{R_{d,i} |\Gamma_i^{out}|}{4} \left(\|u_h^n \cdot n\|_{L^2(\Gamma_i^{out})}^2 - \|u_h^{n-1} \cdot n\|_{L^2(\Gamma_i^{out})}^2 \right) + 2\mu \|\varepsilon(u_h^n)\|_{L^2(\Omega)}^2 \\
 &= \underbrace{- \sum_{i=1,2} \frac{\rho^f}{2} \int_{\Gamma_i^{out}} |u_h^n|^2 (u_h^{n-1} \cdot n - |u_h^{n-1} \cdot n|_-) - \frac{\rho^f}{2\tau} \|u_h^n - u_h^{n-1}\|_{L^2(\Omega)}^2}_{\leq 0} - \sum_{i=1,2} \int_{\Gamma_i^{out}} p_d u_h^n \cdot n \\
 & \quad - \underbrace{\sum_{i=1,2} \frac{R_{d,i} |\Gamma_i^{out}|}{4} \|(u_h^n - u_h^{n-1}) \cdot n\|_{L^2(\Gamma_i^{out})}^2}_{- \boxed{\text{C}}} - \underbrace{\sum_{i=1,2} R_{d,i} \left| \int_{\Gamma_i^{out}} u_h^n \cdot n \right|^2}_{- \boxed{\text{B}}} \\
 & \quad - \underbrace{\sum_{i=1,2} R_{d,i} \left(\int_{\Gamma_i^{out}} (u_h^{n-1} - u_h^n) \cdot n \right) \left(\int_{\Gamma_i^{out}} u_h^n \cdot n \right)}_{\boxed{\text{A}}}
 \end{aligned}$$

Stabilité énergétique inconditionnelle

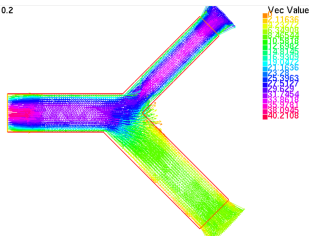
$$\boxed{A} \leq \sum_{i=1,2} \frac{R_{d,i}}{2} \left(2 \left| \int_{\Gamma_i^{out}} u_h^n \cdot n \right|^2 + \frac{1}{2} \| (u_h^{n-1} - u_h^n) \cdot n \|_{L^2(\Gamma_i^{out})}^2 |\Gamma_i^{out}| \right) = \boxed{B} + \boxed{C}$$

On obtient la stabilité sans aucune condition :

$$\begin{aligned} & \frac{\rho^f}{2} \|u_h^N\|_{L^2(\Omega)}^2 + \sum_{i=1,2} \frac{R_{d,i} |\Gamma_i^{out}|}{4} \|u_h^N \cdot n\|_{L^2(\Gamma_i^{out})}^2 + 2\mu\tau \sum_{n=1}^N \|\varepsilon(u_h^n)\|_{L^2(\Omega)}^2 \\ & \leq \sum_{i=1,2} \frac{R_d^i |\Gamma_i^{out}|}{4} \|u_h^0 \cdot n\|_{L^2(\Gamma_i^{out})}^2 + \frac{\rho^f}{2} \|u_h^0\|_{L^2(\Omega)}^2 - \tau \sum_{n=1}^N \sum_{i=1,2} \int_{\Gamma_i^{out}} p_d u_h^n \cdot n. \end{aligned}$$

Simulation numérique

Vitesse pour $t = 0.2$



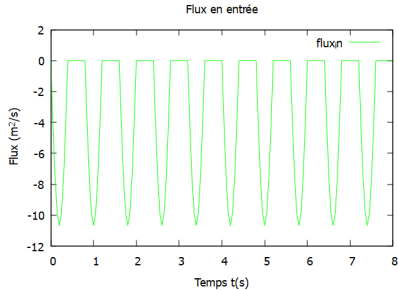


Figure: Flux entrant

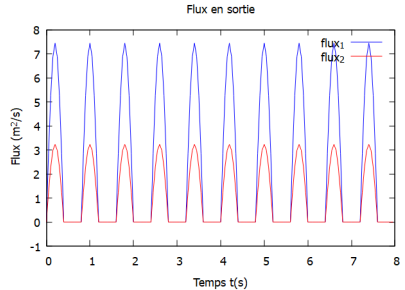


Figure: Flux sortant

- Comportement périodique
- Flux négatif en entrée / positif en sortie
- Flux plus élevé sur la section fine

Pression

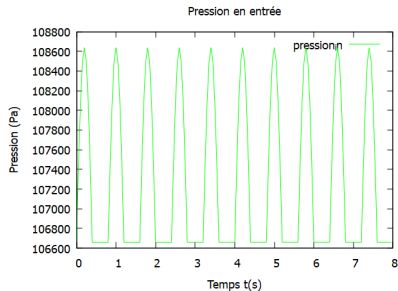


Figure: Pression entrante

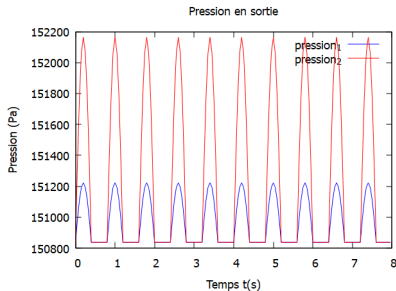


Figure: Pression sortante

- Comportement périodique
- Pression faible en entrée / forte en sortie
- Pression plus élevé sur la section large

Problème de couplage fluide-solide

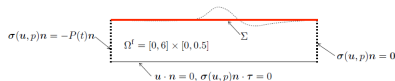


Figure: Domaine Ω

Équations du Modèle

$$\left\{ \begin{array}{l} \rho_f \partial_t u - \operatorname{div} \sigma(u, p) = 0 \\ \operatorname{div} u = 0 \\ u \cdot n = 0, \quad \sigma(u, p)n \cdot \tau = 0 \\ \sigma(u, p)n = -Pn \\ \sigma(u, p)n = 0 \\ u \cdot n = \dot{\eta}, \quad u \cdot \tau = 0 \\ \rho_s \epsilon \partial_t \dot{\eta} - c_1 \partial_x^2 \eta + c_0 \eta = -\sigma(u, p)n \cdot n \\ \dot{\eta} = \partial_t \eta \\ \eta = 0 \end{array} \right.$$

- $u^n \cdot n = \dot{\eta}^n$
- Schéma stable inconditionnellement
- Coûteux en temps

it = 8, time = 0.015



Figure: Simulation par le schéma implicite

Schéma explicite Dirichlet

- $u^n \cdot n = \dot{\eta}^{n-1}$
- Schéma dont la stabilité indépendant du pas de temps
- Schéma instable sous $\frac{\rho f \alpha_{\max}}{\rho_s \epsilon} > 1, \quad \alpha_{\max} \approx \frac{L^2}{\pi^2 R}.$
- Utilité restreinte

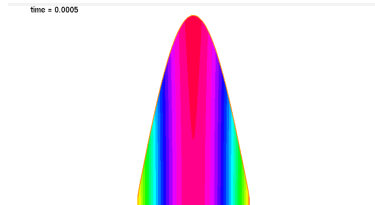


Figure: Simulation par le schéma explicite Dirichlet

Schéma explicite Dirichlet

time = 0.015



Figure: Déformation finale pour le schéma explicite Dirichlet (pour $\rho^f/100$)

time = 0.015



Figure: Déformation finale pour le schéma explicite Dirichlet (pour $\rho^s \cdot 100$)

Schéma explicite Robin

- $\rho_s \epsilon \frac{u^n \cdot n}{dt} + \sigma(u^n, p^n) n \cdot n =$
 $\rho_s \epsilon \frac{\dot{\eta}^{n-1}}{dt} + c_1 \partial_x^2 \eta^{n-1} - c_0 \eta^{n-1}$
- Schéma stable
inconditionnellement
- Plus rapide que le schéma
implicite

r = 1, time = 0.015

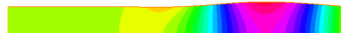


Figure: Simulation par le schéma explicite Robin

On veut analyser l'impact du pas de temps dt sur la précision du déplacement final en comparant au schéma implicite.

- On prend le schéma implicite comme référence
- On observe le déplacement final pour différentes valeurs de dt :

$$dt = \frac{2 \times 10^{-4}}{2^i}, \quad i = 0, 1, 2, 3.$$

Précision du schéma

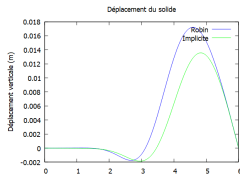


Figure: Déplacement final pour $i = 0$

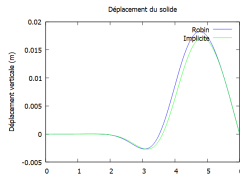


Figure: Déplacement final pour $i = 1$

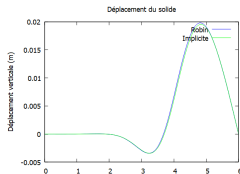


Figure: Déplacement final pour $i = 2$

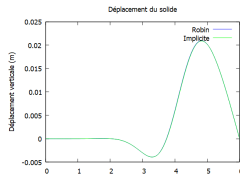


Figure: Déplacement final pour $i = 3$

En diminuant dt , on améliore la précision. Cependant dt n'a pas d'impact sur la stabilité.

Résumé :

- Schéma implicite : stable inconditionnellement mais lent
- Schéma explicite Dirichlet : rapide mais stable conditionnellement
- Schéma explicite Robin : stable inconditionnellement et rapide